

УДК 550.34.06.03.2

ОЦЕНКА ДЕФОРМАЦИОННЫХ СВОЙСТВ СИСТЕМЫ “ПЛАСТ–СКВАЖИНА” НА ОСНОВЕ АНАЛИЗА БАРОМЕТРИЧЕСКОГО И ПРИЛИВНОГО ОТКЛИКОВ УРОВНЯ ВОДЫ В СКВАЖИНЕ

© 2009 г. Г. Н. Копылова¹, Э. М. Горбунова², С. В. Болдина¹, Д. В. Павлов²

¹Камчатский филиал Геофизической службы РАН, г. Петропавловск-Камчатский

²Институт динамики геосфер РАН, г. Москва

Поступила в редакцию 25.12.2008 г.

На основании исследования барометрического и приливного откликов уровня воды в скважине, расположенной на территории геофизической обсерватории Института динамики геосфер РАН “Михнево”, установлены статически изолированные условия в рассматриваемой гидрогеологической системе “пласт–скважина” на периодах ≥ 3 ч. Оценены значения барометрической эффективности, приливной чувствительности уровня воды, упругие параметры и пористость водовмещающих пород. Построена модель инерционности водообмена в системе “пласт–скважина” в зависимости от периода вариаций с учетом конструкции скважины, водопроводимости и упругой емкости водоносного горизонта. Результаты моделирования находятся в соответствии с поведением амплитудной передаточной функции от вариаций атмосферного давления к изменениям уровня воды. По результатам обработки данных прецизионных измерений уточнена величина водопроводимости водоносного горизонта, полученная по данным опытно-фильтрационных работ.

PACS: 91.45.Xz

ВВЕДЕНИЕ

Прецизионные наблюдения за вариациями уровня подземных вод представляют традиционный компонент системы геофизического мониторинга, направленного на диагностику напряженно-деформированного состояния геологической среды (НДС). В сейсмоактивных районах России (на Дальнем Востоке, Забайкалье, Северном Кавказе) такие измерения целенаправленно проводятся в течение последних десятилетий с целью поиска предвестников землетрясений [Копылова и др., 2007]. В асейсмичных регионах России, преимущественно в пределах Московского артезианского бассейна (МАБ), прецизионные уровнемерные наблюдения выполнялись эпизодически и, в основном, были направлены на изучение приливного отклика уровня воды в скважинах [Любушин и др., 1997; Багмет и др., 1989].

С февраля 2008 г. в скважине, расположенной на территории геофизической обсерватории Института динамики геосфер РАН “Михнево” (ГО ИДГ РАН “Михнево”), приуроченной к южной окраине МАБ, организованы высокоточные уровнемерные наблюдения, синхронные с измерениями атмосферного давления на приусадебной площадке. Полученный ряд данных использовался для изучения барометрического и приливного откликов уровня воды и оценки инерционности водообмена в системе “пласт–скважина” с целью выделения частотного

диапазона регистрации сигнала, информативного для определения деформации водовмещающих пород опорного водоносного горизонта.

НАУЧНО-МЕТОДИЧЕСКИЙ ОПЫТ ОБРАБОТКИ РЕЗУЛЬТАТОВ ПРЕЦИЗИОННЫХ УРОВНEMЕРНЫХ ИЗМЕРЕНИЙ

В асейсмичном регионе в вариациях уровня воды в скважинах, вскрывающих напорные водоносные горизонты, могут проявляться отклики на упругую деформацию водовмещающих пород, обусловленные постоянно действующими факторами атмосферной нагрузки и лунно-солнечных приливов.

Если скважина вскрывает изолированный водоносный горизонт, фильтрацией воды в котором можно пренебречь, и водообмен между насыщенными горными породами и стволом скважины неискажает реакцию уровня на изменение порового давления, то, в этом случае, вариациям атмосферного давления будет соответствовать отклик уровня, амплитуда которого Δh_b линейно связана с вертикальной барометрической нагрузкой Δb :

$$\Delta h_b = -(1/\rho_{bg})[1 - (B/3)(1 + v_u)/(1 - v_u)]\Delta b. \quad (1)$$

Приливы в твердой Земле сопровождаются объемной деформацией водонасыщенных горных пород. В этом случае амплитуда приливного отклика

уровня воды в скважине Δh_t , пропорциональна амплитуде деформации $\Delta\varepsilon$:

$$\Delta h_t = -(1/\rho_b g)(2GB/3)[(1 + v_u)/(1 - 2v_u)]\Delta\varepsilon, \quad (2)$$

где ρ_b – плотность воды, g – ускорение свободного падения. Коэффициенты связи в (1)–(2) определяются упругими параметрами резервуара: модулем сдвига G , коэффициентом Скемптона B и коэффициентами Пуассона для недренированных условий v_u [Roeloffs, 1988].

В практике уровнемерных наблюдений для характеристики барометрического отклика уровня используется величина барометрической эффективности $E_b = -\Delta h_b/\Delta b$ и ее зависимость от периода вариаций. Если в некотором диапазоне периодов обнаруживаются постоянные значения E_b , то это означает, что в этом диапазоне водообмен между скважиной и насыщенными горными породами, а также фильтрационные процессы, не оказывают искажающего воздействия на проявление барометрического отклика уровня воды. В пределах проявления статической величины барометрической эффективности оценивается диапазон периодов вариаций уровня воды, представительный для определения приливного отклика и оценки деформометрических свойств наблюдательной системы “пласт–скважина”.

Для характеристики приливного воздействия в отфильтрованных рядах измерений уровня воды после снятия эффекта барометрической нагрузки выделяются амплитуды отдельных приливных волн и оцениваются фазовые соотношения между приливными вариациями уровня и соответствующими компонентами приливного гравитационного потенциала. Величина приливной чувствительности уровня воды A_v по отношению к теоретической или экспериментально зарегистрированной приливной деформации горных пород может быть рассчитана по соотношению:

$$A_v = -\Delta h_t/\Delta\varepsilon, \quad (3)$$

где Δh_t – амплитуда приливных вариаций уровня воды, см; $\Delta\varepsilon$ – амплитуда приливных изменений объемной деформации, 10^{-9} .

В работах [Копылова, 2006; Копылова и др., 2007; Rojstaczer, 1988; Rojstaczer, Agnew, 1989] в качестве важного показателя информативности уровнемерных наблюдений рассматривается обнаружение статически изолированного отклика уровня воды в скважинах наблюдательной сети и оценка его параметров – диапазона периодов проявления и величины приливной чувствительности уровня воды. Выделенный статически изолированный отклик уровня воды линейно связан с деформацией водовмещающего пласта и зависит от упругих параметров горных пород по (2).

Ограничение диапазона периодов статически изолированного отклика уровня воды в высокоча-

стотной области определяется инерционными свойствами системы “пласт–скважина” вследствие наличия ненулевой массы воды в стволе скважины. Для того, чтобы вариации уровня воды полностью отражали изменения порового давления, необходимо определить интервал периодов, соответствующий режиму стабилизации (равновесия) гидрогеологической системы “пласт–скважина”, зависящий от конструкции скважины и фильтрационных характеристик водовмещающих пород.

В работе [Hsieh et al., 1987] предложена математическая модель изменений уровня воды в скважине при гармонических вариациях порового давления в пласте с учетом конструкции скважины (величин радиусов обсаженной r_c и открытой частей ствола r_w), водопроводимости T и упругой емкости водовмещающих пород S . Рассматриваемая математическая модель основана на оценке зависимостей амплитудного соотношения и фазового сдвига между вариациями напора в водоносном пласте и уровня воды в скважине от периода вариаций. Для отдельных скважин эта модель адекватно описывает инерционность водообмена в системе “пласт–скважина” при изменении барометрической нагрузки [Болдин, Копылова, 2006].

В низкочастотной области граница статически изолированного отклика уровня воды определяется, в основном, гидрогеологическими условиями – периодичностью и интенсивностью питания подземных вод, фильтрационными свойствами водовмещающих пород и параметрами подземного потока (скорость, расход) [Копылова, 2006; Rojstaczer, 1988].

Для скважин, вскрывающих изолированные напорные водоносные горизонты, диапазон периодов проявления статически изолированного отклика уровня воды может изменяться в широких пределах: от минут–первых часов до суток–десятков суток. В этом диапазоне в изменениях уровня воды могут проявляться вариации, соответствующие изменениям напряженно-деформированного состояния водоносного пласта при геодинамической активизации геологической среды.

МЕТОДИКА ИССЛЕДОВАНИЙ

В настоящей работе на основе изучения отклика уровня воды на барометрическое и приливное воздействие проводится оценка деформометрических и гидрогеологических параметров водоносного горизонта, вскрытого наблюдательной скважиной, расположенной в пределах асейсмичного региона. Выполнялся кросс-спектральный анализ вариаций уровня воды и атмосферного давления для определения величины барометрической эффективности E_b и ее зависимости от периода вариаций, а также приливной анализ вариаций уровня воды в диапазоне периодов 2–30 ч. по программе ETERNA 3.0

[Wenzel, 1994] с оценкой приливной чувствительности уровня воды по отношению к теоретическим величинам объемной и площадной деформации.

Для статически изолированных условий в системе “пласт–скважина” определены упругие параметры водовмещающих пород и пористость с использованием формул теории пороупругости [Rojstaczer, Agnew, 1989]. Фильтрационные и упругие параметры водоносного горизонта также оценивались по данным опытно-фильтрационных работ и по результатам анализа приливного и барометрического откликов уровня воды в скважине. Выполнено со-поставление результатов моделирования инерционности водообмена в системе “пласт–скважина” по [Hsieh et al., 1987] с изменением барометрической эффективности в зависимости от периода вариаций и с гидрологическими параметрами, рассчитанными по данным опробования скважины.

ХАРАКТЕРИСТИКА СКВАЖИНЫ И ДАННЫХ НАБЛЮДЕНИЙ

Прецизионные измерения вариаций уровня в скважине № 2 выполняются на территории ГО ИДГ РАН “Михнево”, расположенной на расстоянии 3 км западнее д. Починки Ступинского района Московской области. Скважина № 2 (координаты 54.96° с.ш., 37.77° в.д., абсолютная отметка устья 167.5 м) оборудована погружным зондом LMP 308i (Германия) с точностью измерений вариаций уровня воды 0.5 мм и периодичностью опроса 1 с. В интервале 0–91 м скважина обсажена металлической колонной труб диаметром 127 мм. Ниже до глубины 115 м ствол скважины диаметром 118 мм открыт.

Стационарные наблюдения проводятся за изменением уровня алексинско-тарусского водоносного напорного горизонта, вскрытого в интервале 76.1–115 м и представленного неравномерно трещиноватыми известняками нижнекаменноугольного возраста с прослойями глин и мергелей. Пере-крывающим водоупором является горизонт глин среднекаменноугольного возраста мощностью 19.5 м, отделяющий известняки от вышележащей толщи, сложенной карбонатно-терригенными отложениями среднекаменноугольного возраста, водно-ледниками и моренными отложениями четвертичного возраста.

Уровень воды в скважине установился на глубине 68 м при величине избыточного напора в пределах алексинско-тарусского водоносного горизонта 8.1 м относительно кровли. Радиус обсадной колонны труб в зоне вариаций уровня подземных вод составляет $r_c = 0.064$ м, в интервале водоприемной части скважины $r_w = 0.059$ м.

По окончанию бурения в скважине № 2 выполнен комплекс геофизических исследований и опытно-фильтрационных работ. Водопроводимость T

вскрытой толщи алексинско-тарусского водоносного горизонта мощностью t до 38.9 м по данным расходометрии и опытного налива не превышает $2.1 \text{ м}^2/\text{сут.}$, по данным прокачки – $4.0 \text{ м}^2/\text{сут.}$ В выделенных по результатам расходометрии интервалах водопритока на глубинах 92–94 м и 99–100 м величина водопроводимости достигает $13 \text{ м}^2/\text{сут.}$ Величина коэффициента фильтрации k в пределах вскрытой толщи по данным трех методов опытно-фильтрационных исследований находится в диапазоне $0.06\text{--}0.16 \text{ м}/\text{сут.}$ По данным экспресс-опробования алексинско-тарусского водоносного горизонта величины пьезопроводности a и упругой водоотдачи μ^* составляют соответственно $1.3 \times 10^{-4} \text{ м}^2/\text{сут.}$ и 2.3×10^{-4} .

На рис. 1 приведен фрагмент данных непрерывных наблюдений за вариациями уровня воды и атмосферного давления с 6 февраля по 2 июня 2008 г. при их усреднении в окне 100 с. В изменениях уровня воды прослеживаются барометрические вариации, синхронно повторяющие изменения атмосферного давления, а также сезонный тренд с амплитудой около 1 м. Кроме этого, в вариациях уровня воды периодически присутствует техногенная помеха. Амплитуда вариаций уровня во время проявления помехи достигает 4.0–6.5 см, продолжительность – до нескольких часов. В записях атмосферного давления помеха проявляется редко и в ослабленном виде с амплитудой, не превышающей 1.5 гПа.

Для подавления влияния помехи на барометрические и приливные вариации уровня воды выполнен переход от 100-секундных данных измерений к среднечасовым. На рис. 2 представлен фрагмент среднечасовых вариаций уровня воды и атмосферного давления, полученных усреднением 100-секундных данных в окне 36 отсчетов с шагом 36 отсчетов. Эта процедура удовлетворительно компенсирует помеху в среднечасовых данных. Кроме этого, в изменениях уровня воды более четко, по сравнению с исходными записями, проявляются суточные и полусуточные вариации, имеющие земно-приливное происхождение. Полученные временные ряды среднечасовых значений уровня воды и атмосферного давления использовались для определения параметров барометрического и приливного откликов уровня воды в скважине № 2.

БАРОМЕТРИЧЕСКИЙ ОТКЛИК УРОВНЯ ВОДЫ

Оценка параметров барометрического отклика уровня воды проводилась методом кросс-спектрального анализа [Любушин, 2007]. Для этого выполнялось построение усредненной в скользящем окне 256 ч. кросс-периодограммы двух скалярных временных рядов: входного сигнала $X(t)$ – атмосферное давление и выходного сигнала $Y(t)$ – уровня воды. Перед расчетом кросс-периодограммы осу-

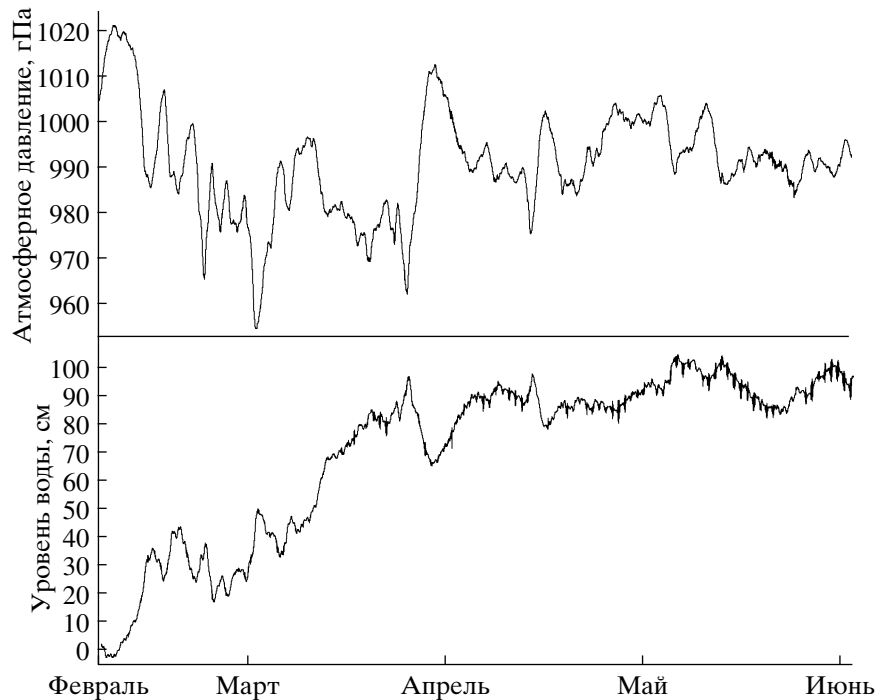


Рис. 1. Изменения уровня воды и атмосферного давления в скважине № 2 с 6 февраля по 2 июня 2008 г.



Рис. 2. Вариации среднечасовых значений атмосферного давления и уровня воды в скважине № 2 с 1 по 10 апреля 2008 г. (показаны жирными черными линиями), наложенные на 100-секундные вариации (показаны серыми линиями).

ществлялся переход от исходных среднечасовых временных рядов $X(t)$ и $Y(t)$ к их первым разностям для подавления низкочастотных трендов в обоих сигналах.

Проводилось также предварительное удаление из исходных временных рядов $X(t)$ и $Y(t)$ частотных полос в интервалах полусуточных и суточных периодов 11–13 ч. и 23–27 ч. с использованием идеально-

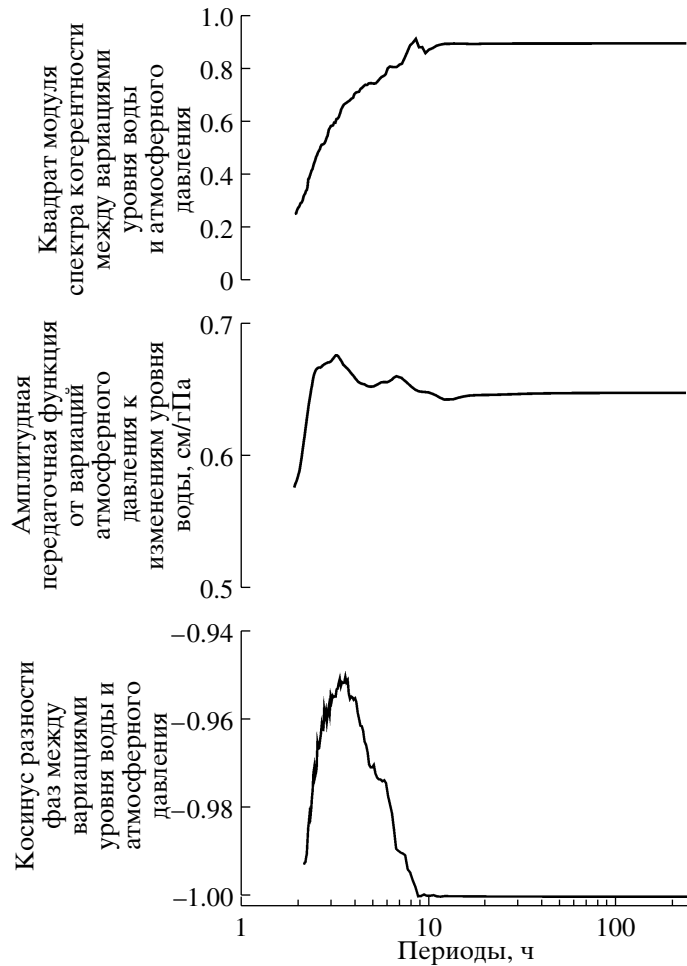


Рис. 3. Результаты кросс-спектрального анализа среднечасовых вариаций уровня воды и атмосферного давления.

го фильтра. По усредненной кросс-периодограмме рядов $X(t)$ и $Y(t)$ выполнена непараметрическая оценка функций квадрата модуля спектра когерентности, амплитудной передаточной функции (АПФ) от вариаций атмосферного давления к изменениям уровня воды и косинуса разности фаз в зависимости от периода вариаций (рис. 3).

Верхний график (рис. 3) характеризует когерентность вариаций атмосферного давления и уровня воды в зависимости от периода. Видно, что величина когерентности плавно возрастает от 0.2 до максимальной величины 0.89 в диапазоне периодов от 2 ч., до примерно 8 ч. Такое возрастание обусловлено, с одной стороны, инерционным эффектом водообмена в системе “пласт–скважина” и ослаблением отклика уровня воды на барометрическую нагрузку на относительно малых периодах и, с другой стороны, наличием шумовых вариаций в обоих временных рядах, понижающих устойчивость оцениваемой величины когерентности.

В поведении АПФ от вариаций атмосферного давления к изменениям уровня воды (средний гра-

фик на рис. 3) выделяются три интервала: 1 – быстрое возрастание от 0.58 до 0.66 см/гПа в диапазоне 2–3 ч., 2 – неустойчивое поведение с колебанием величины АПФ в области 0.66–0.68 см/гПа в диапазоне 3–10 ч., 3 – стабилизация величины АПФ на значении 0.65 см/гПа в диапазоне периодов ≥ 11 ч. Такое поведение АПФ показывает, что инерционность водообмена в системе “пласт–скважина” оказывает существенное влияние только на малых периодах формирования барометрического отклика уровня, не превышающих 3 ч. Наличие отрезка неустойчивости связано либо с особенностями формирования барометрического отклика уровня воды в скважине № 2, либо с шумовыми эффектами.

По поведению АПФ оценивается величина барометрической эффективности E_b , характеризующая статически изолированный отклик уровня на барометрическую нагрузку [Копылова, 2006]. Величина $E_b = 0.65$ см/гПа на периодах ≥ 3 ч. принимается в качестве характеристики барометрического отклика уровня воды в скважине № 2 для статически изолированных условий. Разность фаз между вариациями уровня воды и атмосферного давления

Таблица 1. Результаты приливного анализа вариаций уровня воды в скважине № 2 по программе ETERNA 3.0 [Wenzel, 1994]

Волна, период, ч.	Амплитуда объемной деформации $\Delta\epsilon$, 10^{-9}	Амплитуда уровня воды, Δh_t , см	Сигнал/шум	Амплитудный фактор, см/ 10^{-9}	Фазовый сдвиг, град
Q_1 26.87	1.38	0.066	15.9	0.048 ± 0.020	-177 ± 24
O_1 25.82	7.18	0.381	89.8	0.053 ± 0.004	-178 ± 4
M_1 24.83	0.56	0.024	4.9	0.042 ± 0.048	-134 ± 65
P_1S_1 23.93	10.10	0.393	81.6	0.039 ± 0.003	-155 ± 4
J_1 23.10	0.56	0.012	2.9	0.021 ± 0.048	-172 ± 133
OO_1 22.31	0.31	0.014	4.9	0.046 ± 0.088	-174 ± 111
$2N_2$ 12.87	0.19	0.010	2.6	0.052 ± 0.038	-131 ± 42
N_2 12.66	1.19	0.071	14.9	0.060 ± 0.006	-178 ± 6
M_2 12.42	6.24	0.381	76.5	0.061 ± 0.001	-179 ± 1
L_2 12.19	0.18	0.006	1.1	0.032 ± 0.041	-146 ± 73
S_2K_2 12.00	2.90	0.201	47.9	0.069 ± 0.002	-170 ± 2

Примечание: 1 – жирным шрифтом выделены волны в изменениях уровня воды при величинах отношения сигнал/шум ≥ 10 ; 2 – величина регрессионного коэффициента связи между вариациями уровня воды и атмосферного давления на периодах 2–30 ч составляет -0.652 ± 0.005 см/гПа.

в рассматриваемом диапазоне периодов составляет $-160^\circ \dots -180^\circ$ и достигает стабильного значения -180° на периоде ≥ 8 ч. (нижний график на рис. 3).

Результаты барометрического анализа показывают, что полный барометрический отклик уровня воды в скважине № 2 проявляется на периодах ≥ 3 ч. и характеризуется величиной барометрической эффективности $E_b = 0.65$ см/гПа. В диапазоне периодов от 3 ч. до примерно первых сотен часов можно предполагать наличие в системе “пласт–скважина” статически изолированных условий.

ПРИЛИВНОЙ ОТКЛИК УРОВНЯ ВОДЫ

В табл. 1 приведены результаты приливного анализа вариаций уровня воды в скважине № 2. Названия приливных волн даны по [Мельхиор, 1968]. В изменениях уровня воды выделены пять мощных приливных волн Q_1, O_1, N_2, M_2 и S_2K_2 с амплитудами $\Delta h_t = 0.066$ – 0.381 см при величинах отношения сигнал/шум 15–90. Это указывает на достаточно надежное определение приливных амплитуд Δh_t в изменениях уровня воды для этих волн. Величины амплитудных факторов для них, равные отношению выделенных амплитуд в изменениях уровня

воды Δh_t к соответствующим величинам теоретической объемной деформации $\Delta\epsilon$, составляют 0.048 – 0.069 см/ 10^{-9} . Для всех пяти волн получены также хорошие оценки разности фаз между волнами в изменениях уровня воды и соответствующими компонентами приливного гравитационного потенциала (т.е. близкие к -180°). Результаты оценок по волне P_1S_1 , период которой наиболее близок к суточному, в дальнейшем не рассматриваются из-за сильной зашумленности вариаций уровня воды действием метеофакторов на суточном периоде.

На рис. 4 представлен график зависимости амплитуд, выделенных в изменениях уровня воды пяти приливных волн от соответствующих величин теоретической объемной деформации. Линейная зависимость при 95%-ой доверительной вероятности и величине коэффициента корреляции $R = 0.99$ описывается уравнением:

$$\Delta h_t = (0.056 \pm 0.002)\Delta\epsilon + (0.010 \pm 0.047). \quad (6)$$

Величина наклона линейной зависимости 0.056 ± 0.002 см/ 10^{-9} характеризует приливной отклик уровня воды в скважине № 2 во всем диапазоне суточных и полусуточных периодов и принимается в качестве величины приливной чувствительности

уровня воды A_v по отношению к объемной деформации водовмещающих пород.

Для расчета упругих параметров и пористости водовмещающих пород по [Rojstaczer, Agnew, 1989] также выполнена оценка амплитудных факторов для отдельных волн по отношению к приливной площадной деформации, равной сумме двух ее горизонтальных компонент, с использованием приливного анализа уровнемерных данных по программе ETERNA 3.0. Полученная величина приливной чувствительности уровня воды по отношению к площадной деформации составляет $A_s = 0.037 \text{ см}/10^{-9}$.

ОЦЕНКА УПРУГИХ ПАРАМЕТРОВ И ПОРИСТОСТИ ВОДОВМЕЩАЮЩИХ ПОРОД

В используемой модели принято, что водовмещающие породы представляют относительно изолированный протяженный водонасыщенный пласт, сложенный пористым упругим материалом с активной (открытой) пористостью. Подобные природные объекты при условии однородности и изотропности в изотермических условиях могут описываться линейной теорией пороупругости [Rice, Cleary, 1976], которая включает систему уравнений, связывающих изменения деформации и напряжения в скелете породы с поровым давлением с учетом сжимаемости скелета и упругого изменения объема воды.

Расчетные формулы для оценки дренированной (при условии постоянства порового давления) сжимаемости скелета с учетом пор β , коэффициента Скемптона B , модуля сдвига G и пористости водовмещающих пород ϕ приведены в [Rojstaczer, Agnew, 1989; Копылова, Болдина, 2006] применительно к системе “пласт–скважина”, для которой установлен статически изолированный отклик уровня воды и определены величины барометрической эффективности E_b и приливной чувствительности A_s . При этом полагаются известными табличные величины сжимаемости воды β_f и сжимаемости твердой фазы скелета β_s . Также принимается примерное равенство величин β_s – сжимаемости твердой фазы скелета и недренированной (при условии постоянства массы флюида) сжимаемости скелета с учетом пор β_u . Величина удельной упругой емкости водовмещающих пород S_s определяется как $S_s = \rho g(\beta + \phi\beta)$.

В табл. 2 показаны величины упругих параметров и пористости алексинско-тарусского водоносного горизонта, рассчитанные для условий статиче-

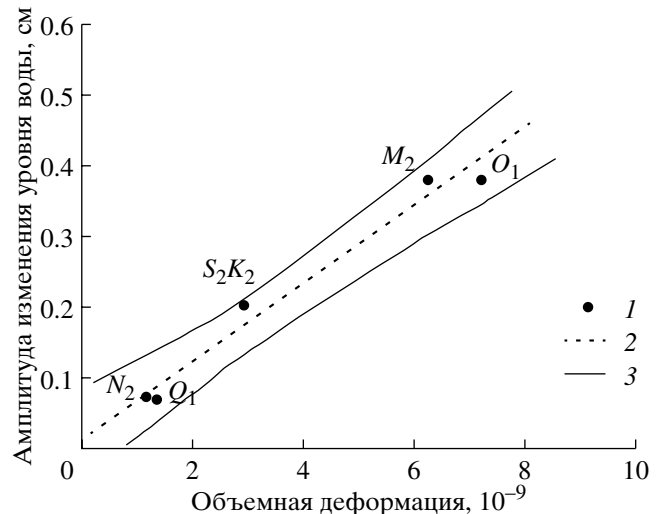


Рис. 4. График зависимости выделенных в изменениях уровня воды амплитуд приливных волн от соответствующих величин объемной деформации: 1 – приливные волны; 2 – линейный тренд зависимости приливных амплитуд в изменениях уровня воды от соответствующих величин приливной объемной деформации; 3 – 95%-ый доверительный интервал линейной зависимости.

ски изолированного отклика уровня воды в скважине № 2 по [Rojstaczer, Agnew, 1989; Копылова, Болдина, 2006] при величинах недренированной сжимаемости $\beta_u = 0.3 \times 10^{-10} \text{ Па}^{-1}$, сжимаемости воды $\beta_f = 4.4 \times 10^{-10} \text{ Па}^{-1}$ и характерной величине коэффициента Пуассона $v = 0.25$. Величина упругой емкости водоносного пласта S рассчитывалась по формуле $S = S_s m$, где m – вскрытая мощность алексинско-тарусского водоносного горизонта (38.9 м), и составляет $0.9–1.4 \times 10^{-4}$. Величина S примерно соответствует упругой водоотдаче $\mu^* = 2.3 \times 10^{-4}$, полученной по данным обработки экспресс-налива в скважину.

ОЦЕНКА ИНЕРЦИОННОСТИ ВОДООБМЕНА В СИСТЕМЕ “ПЛАСТ–СКВАЖИНА”

При рассмотрении барометрического и приливного воздействия на поведение изолированного водовмещающего пласта можно пренебречь латеральной фильтрацией подземного потока, так как значительный пространственный радиус действия указанных факторов предполагает отсутствие горизонтальных градиентов порового давления. Кро-

Таблица 2. Расчетные величины упругих параметров и пористости водовмещающих пород

Барометрическая эффективность E_b , см/гПа	Приливная чувствительность уровня воды A_s , $\text{м}/10^{-7}$	Дренированная сжимаемость скелета β , $\text{Па}^{-1} \times 10^{-11}$	Модуль сдвига G , $\text{Па} \times 10^{10}$	Коэффициент Скемптона B	Удельная упругая емкость S_s , $\text{м}^{-1} \times 10^{-7}$	Пористость ϕ
0.65	0.037	16.2	0.37	0.40	36.9	0.49

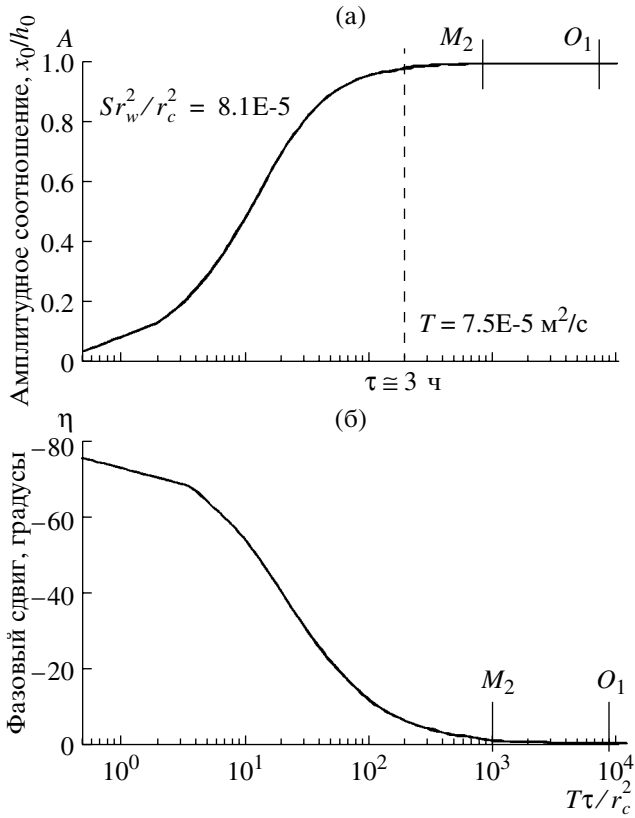


Рис. 5. Графики амплитудного соотношения x_0/h_0 (а) и фазового сдвига η (б) между вариациями уровня воды в скважине № 2 и напором в водоносном горизонте при величине упругой емкости $S = 1 \times 10^{-4}$. Пунктирной вертикальной линией показана величина амплитудного соотношения $x_0/h_0 \sim 1$ на периоде $\tau = 3$ ч. при величине водопроводимости $T = 7.5 \times 10^{-5} \text{ м}^2/\text{сут}$ ($6.48 \text{ м}^2/\text{сут}$). M_2 , O_1 – приливные волны с периодами 12.42 ч. и 25.82 ч. соответственно.

ме этого, при совершенной изоляции алексинско-тарусского водоносного горизонта региональным водоупором (практически непроницаемыми глинами) вертикальный переток из вышележащего водоносного горизонта исключается. Это подтверждается данными стационарных наблюдений за гидродинамическими параметрами вышележащего каширского и алексинско-тарусского водоносных горизонтов, характеризующихся разницей напоров, достигающей 43.2 м.

В этом случае для любого периодического возмущения порового давления с амплитудой p_0 на достаточно длинных периодах уровень воды в скважине x_0 отслеживает напор в пласте h_0 как

$$x_0 = p_0 / \rho_{\text{вг}} = h_0. \quad (7)$$

Но на относительно малых периодах изменения порового давления в водоносном пласте пиковое значение уровня воды будет меньше, чем по (7), и будет запаздывать по отношению к пику напора h_0 за счет инерционности водообмена в системе

“пласт–скважина”. Тогда амплитудное соотношение (отношение амплитуд вариаций уровня воды в скважине и гидростатического напора в водоносном горизонте) рассчитывается как $A = x_0/h_0$, фазовый сдвиг $\eta = \arg(x_0/h_0)$.

Определение зависимости параметров A и η от периода вариаций порового давления с учетом фильтрационных и упругих свойств водовмещающих пород и конструкции скважины характеризует степень инерционности водообмена в рассматриваемой системе “пласт–скважина”. Выражения для периодического понижения уровня воды в скважине, амплитудного соотношения и фазового сдвига с учетом водопроводимости T , упругой емкости водовмещающих пород S и радиусов скважины в зоне колебаний уровня воды r_c и в водоприемной части скважины r_w приводятся в работах [Hsieh et al., 1987; Болдина, Копылова, 2006]. Теоретические зависимости амплитудного соотношения и фазового сдвига по [Hsieh et al. 1987] также могут использоваться для уточнения водопроводимости водоносного горизонта T .

Графики амплитудного соотношения A и сдвига фаз η при различных значениях величин $T\tau/r_c^2$, где τ – период вариаций в секундах, и Sr_w^2/r_c^2 для скважины № 2 представлены на рис. 5 и рис. 6. При построении графика на рис. 5 использовалась расчетная величина $S = 1 \times 10^{-4}$, полученная по результатам анализа барометрического и приливного откликов уровня воды. При этом водопроводимость T определялась подбором из условия наилучшего соответствия результата моделирования инерционного эффекта водообмена и поведения амплитудной передаточной функции от вариаций атмосферного давления к изменениям уровня воды (рис. 3). Критерием выбора величины $T = 6.48 \text{ м}^2/\text{сут}$ являлось достижение амплитудного соотношения $x_0/h_0 \approx 1$ на периоде ~ 3 ч и приближение величины фазового сдвига η к 0° .

При использовании величин $T = 3.0 \text{ м}^2/\text{сут}$ и $S = 2.3 \times 10^{-4}$, полученных по данным опытно-фильтрационных работ, достижение амплитудного соотношения $x_0/h_0 \approx 1$ и фиксация полного отклика уровня воды на периодические вариации давления в пласте происходит на большем периоде, составляющем $\tau = 5$ ч. 30 мин. (рис. 6). Возможно, это связано с тем, что опытно-фильтрационные работы проводились непосредственно после бурения скважины в течение 12-ти часов и не привели к полной расколматации трещин и каверн в водовмещающих породах после бурения. По-видимому, этим обусловлено относительно заниженное значение водопроводимости алексинско-тарусского водоносного горизонта, полученное по данным опытно-фильтрационных работ.

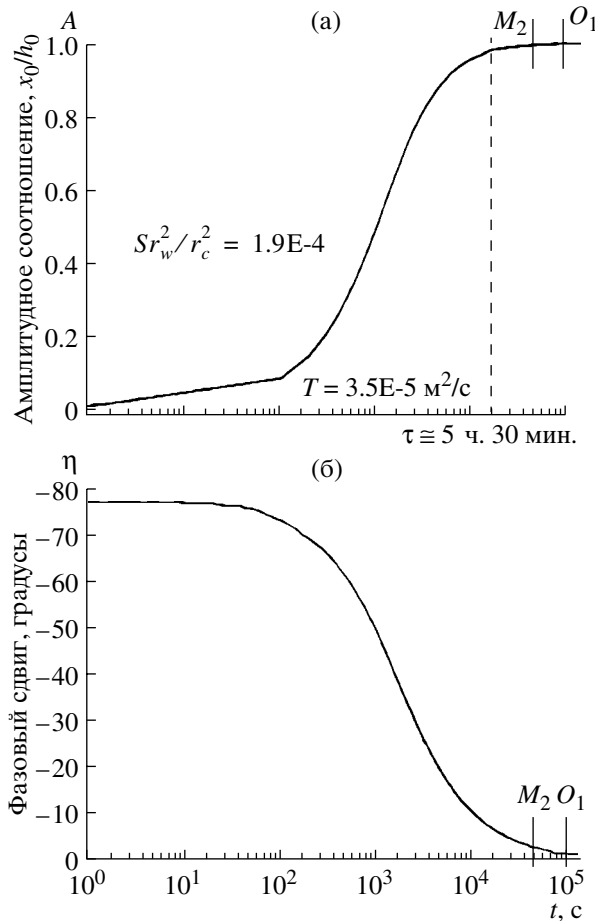


Рис. 6. Графики амплитудного соотношения x_0/h_0 (а) и фазового сдвига η (б) между вариациями уровня воды в скважине № 2 и напором в водоносном горизонте при величинах $T = 3.5 \times 10^{-5} \text{ м}^2/\text{сут.}$ ($3 \text{ м}^2/\text{сут.}$) и $\mu^* = S = 2.3 \times 10^{-4}$, полученных по данным опробования скважины. Пунктирной вертикальной линией показана величина амплитудного соотношения $x_0/h_0 \sim 1$ на периоде $\tau = 5 \text{ ч. } 30 \text{ мин.}$

ЗАКЛЮЧЕНИЕ

На основании исследования барометрического и приливного откликов уровня воды в скважине № 2 предполагается наличие статически изолированных условий в рассматриваемой системе “пласт–скважина” на периодах ≥ 3 ч. при периодических изменениях порового давления, вызванных изменениями НДСС. Оценены величины барометрической эффективности $E_b = 0.65 \text{ см/гПа}$, приливной чувствительности уровня воды по отношению к теоретической объемной деформации $A_v = 0.056 \text{ см}/10^{-9}$ и величины упругих параметров и пористости водоемещающих пород (табл. 2).

Вероятно, на периодах ≥ 3 ч. скважина № 2 будет вести себя подобно объемному деформографу, и в вариациях уровня воды будут прослеживаться изменения порового давления, обусловленные действием геодинамических факторов. По амплитудам вы-

явленных аномальных изменений уровня воды и величине A_v могут количественно оцениваться величины объемной деформации водоемещающих пород Δe .

Вместе с тем, нижняя граница периодов проявления статически изолированных условий для скважины № 2 не определена, но, по аналогии с другими скважинами, характеризующимися статически изолированным откликом уровня воды и близкими фильтрационными и упругими параметрами водоемещающих пород, предположительно, составляет не менее первых сотен часов. Для более точного определения этой границы необходимо получить ряд наблюдений не менее 1–2-х лет.

По изменению величины барометрической эффективности в зависимости от периода вариаций выделен высокочастотный диапазон на периодах от первых минут до полусуток, характеризующийся неустойчивым барометрическим откликом уровня воды за счет инерционности водообмена в системе “пласт–скважина” в диапазоне периодов < 3 ч. и, возможно, за счет техногенной помехи. В этом диапазоне периодов оценка деформации контролируемого скважиной водонасыщенного пласта при периодических изменениях НДСС затруднена.

Моделирование эффекта водообмена в системе “пласт–скважина” по модели [Hsieh et al., 1987] с учетом конструкции скважины и с использованием расчетных и экспериментально определенных величин водопроводимости T и упругой емкости S , а также сопоставление полученных результатов с поведением амплитудной передаточной функции от вариаций атмосферного давления к изменениям уровня позволило уточнить величину водопроводимости алексинско-тарусского водоносного горизонта для рассматриваемого периода уровнемерных наблюдений ($T = 6.48 \text{ м}^2/\text{сут.}$).

Для контроля инерционных свойств системы “пласт–скважина” необходима периодическая проверка диапазона периодов проявления неустойчивого барометрического отклика по мере пополнения базы данных режимных наблюдений.

СПИСОК ЛИТЕРАТУРЫ

Багмет А.А., Багмет М.И., Барабанов В.Л., Гриневский А.О., Киссин И.Г., Малугин В.А., Рукавишникова Т.А., Савин И.В. Исследование земноприливных колебаний уровня подземных вод на скважине “Обнинск” // Изв. АН СССР. Сер. Физика Земли. 1989. № 11. С. 84–95.

Болдина С.В., Копылова Г.Н. Оценка инерционного эффекта водообмена между скважиной и резервуаром подземных вод // Вестник КРАУНЦ. Серия науки о Земле. 2006. № 2. Вып. 8. С. 112–119.

Копылова Г.Н. Изменения уровня воды в скважине ЮЗ-5, Камчатка, вызванные землетрясениями // Вулканология и сейсмология. 2006. № 6. С. 52–64.

- Копылова Г.Н., Болдина С.В.* Оценка пороупругих параметров резервуара подземных вод (по данным уровнемерных наблюдений на скважине ЮЗ-5, Камчатка) // Вулканология и сейсмология. 2006. № 2. С. 17–28.
- Копылова Г.Н., Куликов Г.В., Тимофеев В.М.* Оценка состояния и перспективы развития гидрогеодеформационного мониторинга сейсмоактивных регионов России // Разведка и охрана недр. 2007. № 11. С. 75–83.
- Любушкин А.А.* Анализ данных систем геофизического и экологического мониторинга. М.: Наука. 2007. 228 с.
- Любушкин А.А. (м.л.), Малугин В.А., Казанцева О.С.* Мониторинг приливных вариаций уровня подземных вод в группе водоносных горизонтов // Физика Земли. 1997. № 4. С. 52–64.
- Мельхиор П.* Земные приливы. М.: Мир. 1968. 482 с.
- Hsieh P., Bredehoeft J., Farr J.* Determination of aquifer transmissivity from earth-tide analysis // Water Resour. Res. 1987. V. 23. P. 1824–1832.
- Rice J.R., Cleary M.P.* Some basic stress-diffusion solutions for fluid saturated elastic porous media with compressible constituents // Rev. Geophys. Space Phys. 1976. V. 14. P. 227–241.
- Roeloffs E. A.* Hydrologic precursors to earthquakes: A review // Pure Appl. Geophys. 1988. V. 126. P. 177–209.
- Rojstaczer S.* Intermediate period response of water levels in wells to crustal strain: sensitivity and noise level // J. Geophys. Res. 1988. V. 93. P. 13619–13634.
- Rojstaczer S., Agnew D.S.* The influence of formation material properties on the response of water levels in wells to Earth tides and atmospheric loading // J. Geophys. Res. 1989. V. 94. P. 12403–12411.
- Wenzel H.G.* Earth tide analysis package ETERNA 3.0 // BIM. 1994. № 118. P. 8719–8721.